



## 第二章

$$q = \Phi/A = -\lambda \text{grad}t = -\lambda \frac{\partial t}{\partial n} \quad (\text{W/m})$$

$$\Phi = -\lambda A \frac{\partial t}{\partial n} \quad (\text{W}) \rightarrow \text{热流密度矢量} \Phi = q_i \vec{n} + q_o \vec{k} = -\lambda \nabla t \quad \text{空间温度梯度}$$

① 负号“-”表示热量传递指向温度降低的方向；而  $\vec{n}$  是通过该点的等温线上法向单位矢量，指向温度升高的方向。

② 热流方向总是与等温线（面）垂直；

### 导热微分方程

利用能量守恒定律并借助傅里叶定律，可以导出导热微分方程，对于各向同性的导热物体在直角坐标系下有如下形式：

$$\rho c \frac{\partial t}{\partial t} = \frac{\partial}{\partial x} (\lambda \frac{\partial t}{\partial x}) + \frac{\partial}{\partial y} (\lambda \frac{\partial t}{\partial y}) + \frac{\partial}{\partial z} (\lambda \frac{\partial t}{\partial z}) + \text{内热源} \quad (2-5)$$

①  $d\mathbf{u}$       ②      ③  $\text{热源生成}$

上式中①表示微元体热力学能的增量；②表示导入微元体的净热流量（“导进”与“导出”之差）

③表示微元体内热源的生成热。

若导热系数  $\lambda = \text{const}$ ，则  $\rho c \frac{\partial t}{\partial t} = \lambda \left( \frac{\partial t}{\partial x} + \frac{\partial t}{\partial y} + \frac{\partial t}{\partial z} \right) + \Phi$

若常物性， $\Phi = 0$ ，得稳态方程： $\frac{\partial t}{\partial x} + \frac{\partial t}{\partial y} + \frac{\partial t}{\partial z} = 0$

I. 稳态  $t_{\infty} = \text{const}$

边界条件 I. 热流强度  $q_w = \text{const}$

II. 热流强度  $q_w = \text{const}$

III. 热流强度随深度变化  $q_w = q_w(x, y)$

IV. 表面条件  $t_s = t_s(x, y)$ ,  $A_s \frac{dt_s}{dx} = h_s(t_s - t_w)$

### 一维平壁导热

$$\frac{\partial^2 t}{\partial x^2} = 0 \rightarrow t = C_1 x + C_2 \quad \left[ \begin{array}{l} x=0, t=t_0; x=\delta, t=t_\delta \\ x=0, t=t_0; x=\delta, t=t_\delta \end{array} \right] \rightarrow t = \frac{t_0 - t_\delta}{\delta} x + t_0 \rightarrow \frac{\partial t}{\partial x} = \frac{t_0 - t_\delta}{\delta} = -\lambda \frac{\partial t}{\partial n} \quad \Phi = \frac{q}{\delta} = \frac{t_0 - t_\delta}{\delta}$$

$$\begin{aligned} & \text{推导} \quad \left( \frac{\partial t}{\partial x} \right)_x = -\lambda \left( \frac{\partial t}{\partial x} \right) dy dz \\ & \left( \frac{\partial t}{\partial x} \right)_{y,z} = \left( \frac{\partial t}{\partial x} \right)_x + \frac{\partial}{\partial y} \left( \frac{\partial t}{\partial x} \right) dy dz \\ & \left( \frac{\partial t}{\partial x} \right)_x = \frac{\partial}{\partial x} \left[ \lambda \left( \frac{\partial t}{\partial x} \right) dy dz \right] dx \\ & \Phi - \Phi_{\text{内源}} = \frac{\partial}{\partial x} \left[ \lambda \left( \frac{\partial t}{\partial x} \right) dy dz \right] dx \end{aligned}$$

$$\alpha = \frac{\Phi}{Tc} \quad \text{热扩散率}$$

### (三) 热扩散率的物理意义

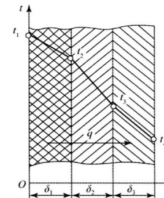
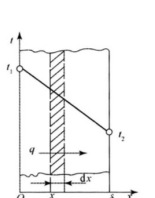
由热扩散率的定义  $\alpha = \frac{\lambda}{\rho c}$  可知：

(1)  $\lambda$  是物体的导热系数，越大，在相同温度梯度下，可以传导更多的热量。

(2)  $\rho c$  是单位体积的物体温度升高  $1^\circ\text{C}$  所吸收的热量。 $\rho c$  越小，温度升高  $1^\circ\text{C}$  所吸收的热量越少，可以剩下更多的热量继续向物体内部传递，使物体内部各点的温度更快随界面温度的升高而升高。由此可见  $\alpha$  的物理意义：①  $\alpha$  越大，表示内部各点温度扯平的能力越大；②  $\alpha$  越大，表示物体中温度变化传播的越迅速。

### 2. 多层平壁

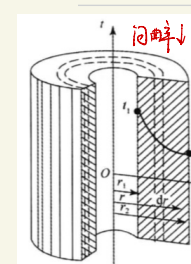
所谓多层平壁，就是由几层不同材料叠加在一起组成的复合壁。讨论三层复合壁的导热问题，如图 2-2 所示。假设层与层间接触良好，没有引起附加热阻（亦称为接触热阻），因此通过层间界面时不会发生温度降落。



### 推导：圆柱式

$$\begin{aligned} \Phi_t &= -\lambda \frac{dt}{dr} dz \cdot dr \cdot d\theta \cdot dy \quad \left( \Phi_t = \Phi_{r,z} \right) \\ \Phi_r &= -\lambda \frac{dt}{dr} \cdot dz \cdot dr \cdot d\theta \cdot dy \quad \left( \Phi_r = \Phi_{r,z} \right) \\ \Phi_z &= -\lambda \frac{dt}{dz} \cdot dr \cdot dz \cdot dr \cdot d\theta \cdot dy \quad \left( \Phi_z = \Phi_{r,z} \right) \\ \therefore \Phi &= \rho c \cdot r \frac{dt}{dr} dz \cdot dr \cdot d\theta \cdot dy = \Phi_r \frac{dz}{dr} + \sum_{r \neq z} [\Phi_r - \Phi_{r,z}] \end{aligned}$$

$$\therefore \rho c \frac{\partial t}{\partial t} = -\frac{1}{r} \frac{\partial}{\partial r} \left[ \lambda \frac{\partial t}{\partial r} \right] + \frac{1}{r^2} \frac{\partial}{\partial r} \left[ \lambda \frac{\partial t}{\partial z} \right] + \frac{1}{r^2} \frac{\partial}{\partial r} \left[ \lambda \frac{\partial t}{\partial \theta} \right] + \Phi + \text{内源}$$



(1) 圆筒壁的温度分布。根据圆柱坐标系中的导热微分方程得常物性、稳态、一维、无内热源圆筒壁的导热微分方程为：

$$\frac{d}{dr} \left( r \frac{dt}{dr} \right) = 0$$

如图 2-3 建立坐标系，圆筒边界条件为：当  $r=r_1$  时， $t=t_1$ ；当  $r=r_2$  时， $t=t_2$ 。

$$q = -\lambda \frac{dt}{dr} = \frac{\lambda c(t_1 - t_2)}{r_2 / r_1 - 1}$$

$$\Phi = qA = q \cdot 2\pi r_1 l = \frac{2\pi \lambda l (t_1 - t_2)}{\ln(r_2/r_1)}$$

$$R = \frac{\ln(r_2/r_1)}{2\pi \lambda l}$$

$$= \frac{\ln(r_2/r_1)}{2\pi \lambda l}$$

$$\begin{aligned} \frac{dt}{dr} &= \frac{t_1 - t_2}{r_2 - r_1} \\ t &= t_2 + \frac{t_1 - t_2}{r_2 - r_1} r \end{aligned}$$

$$C = \frac{t_1 - t_2}{r_2 - r_1} K$$

因为面积  $A \propto r$ ，所以  $R = \text{常数}$

则半径  $r$  越大，面积  $A$  越大，要保持  $\Phi$  为常数，则有  $\frac{dt}{dr}$  越小，即曲率的斜率在半径越大的地方越小，故应为图 2-2 中的实线  $a$ 。注意这种分析曲线凹向的方法在以后的章节中还会出现，读者应掌握这种方法。



### $\Phi$ 、 $\alpha$ 、 $\lambda$ 、 $\rho$ 、 $c$ 、 $q$ 、 $A$ 、 $l$ 、 $\Phi$ 、 $\Phi_r$ 、 $\Phi_z$ 、 $\Phi_{r,z}$ 、 $\Phi_{r,z}$ 、 $\Phi_{r,z}$ 、 $\Phi_{r,z}$

$$\Phi = \frac{t_1 - t_{n+1}}{\sum_{i=1}^{n+1} \frac{d}{dr} A_i} \quad (2-11a)$$

$$q = \frac{t_1 - t_{n+1}}{\sum_{i=1}^{n+1} A_i} \quad (2-11b)$$

$$\begin{aligned} \Phi_r - \Phi_{r,z} &= \frac{d}{dr} \left[ \lambda \frac{\partial t}{\partial r} \right] r \sin \theta d\theta d\phi \\ \Phi_z - \Phi_{r,z} &= \frac{d}{dz} \left[ \lambda \frac{\partial t}{\partial z} \right] r \sin \theta d\theta d\phi \\ \Phi_{r,z} - \Phi_{r,z} &= \frac{d}{dr} \left[ \lambda \frac{\partial t}{\partial r} \right] dz \end{aligned}$$

$$\rho c \frac{\partial t}{\partial t} dr \cdot dz \cdot r \sin \theta d\theta d\phi = \frac{1}{r} \left[ \Phi_r - \Phi_{r,z} \right] + \Phi_z$$

$$\rightarrow \rho c \frac{\partial t}{\partial t} = \frac{1}{r^2} \frac{\partial}{\partial r} \left[ \lambda \frac{\partial t}{\partial r} \right] + \frac{1}{r^2 \sin \theta} \frac{\partial}{\partial z} \left[ \lambda \frac{\partial t}{\partial z} \right] + \Phi + \text{内源}$$

$$t = t_1 + \frac{t_2 - t_1}{r_2 - r_1} r$$

$$C = \frac{t_2 - t_1}{r_2 - r_1} K$$

$$t = t_1 + \frac{t_2 - t_1}{r_2 - r_1} r$$

$$C = \frac{t_2 - t_1}{r_2 - r_1} K$$

### 3. 通过球壳的导热

教材式(2-31)~(2-33)给出了空心球壳内一维稳态、无内热源、常物性时的温度分布及热流量等。若应用傅里叶定律,可有:

$$\Phi = -\lambda A \frac{dt}{dr} = -\lambda \frac{4\pi r^2}{dr} \frac{dt}{dr} = \text{常数}$$

分离变量后积分,可得:

$$\Phi \int_{r_1}^{r_2} \frac{dr}{4\pi r^2} = -\lambda \int_{t_1}^{t_2} dt \quad R = \frac{1}{4\pi\lambda}$$

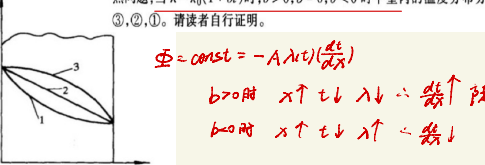
即:

$$\Phi = \frac{4\pi\lambda(t_1 - t_2)}{\frac{1}{r_1} - \frac{1}{r_2}} \quad Q = \frac{\lambda(r_2 - r_1)}{(r_2 - r_1)} \cdot R^2$$

对  $\lambda = \lambda_0 (1 + bt)$  的情形,有  $\bar{\lambda} = \lambda \left( \frac{t_1 + t_2}{2} \right) = \lambda_0 \left( 1 + b \frac{t_1 + t_2}{2} \right)$

热问题,当  $\lambda = \lambda_0(1+bt)$  时,  $b > 0, b=0, b < 0$  时平壁内的温度分布分别对应于图中的曲线

③,②,①。请读者自行证明。



### 肋片

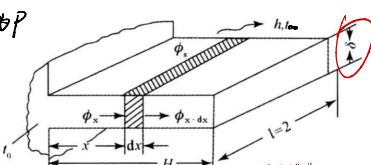
#### (二) 通过等截面直肋的导热

$$m = \sqrt{\frac{\Delta P}{\lambda A_c}} \quad \theta = \theta_0 \frac{ch(mcx-H)}{ch(mH)}$$

如图 4-4 所示,取出一个肋片来分析。已知肋根温度为  $t_0$ ,周围流体温度为  $t_\infty$ ,且  $t_0 > t_\infty$ 。

肋片与周围环境有热交换,包括对流传热和辐射换热的复合换热系数  $h$ 。要确定肋片中的温度分布及通过肋片的散热量。分析图如图 2-5,2-6 所示。

参与换热的肋片周长为  $P$



求解源项中:  
 $\Phi_s = P dx \cdot h(t - t_\infty)$  (放热系数)

$$设 过 条 温 度 \theta = t - t_\infty \rightarrow \frac{d\theta}{dx} = -m \quad m = \sqrt{\frac{\Delta P}{\lambda A_c}}$$

$$\theta = \theta_0 e^{-mx} + C e^{mx} \rightarrow \theta = \theta_0 \frac{ch(mcx-H)}{ch(mH)}$$

肋端散入的全部热流量 ( $x=0$ )

$$\Phi_{s,0} = -\lambda A_c \left( \frac{d\theta}{dx} \Big|_{x=0} \right) = \frac{hP}{m} \theta_0 \text{ th}(mH) = \sqrt{hP \lambda A_c \theta_0 \text{ th}(mH)}$$

若末端面散热,则用综合热强度  $H' = H + \frac{A}{P}$  代替  $H$  ( $H' = H + \frac{A_c}{P}$ )

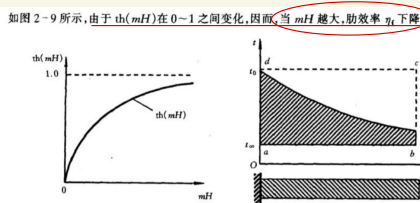
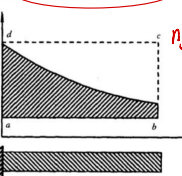


图 2-9 th(mH) 随 mH 的变化



### 肋面总效率

$$\eta_f = \frac{A_p h(t_0 - t_\infty) + \eta_j \cdot A_f h(t_0 - t_\infty) - h(t_0 - t_\infty) (A_p + \eta_j A_f)}{A_p h(t_0 - t_\infty)}$$

$$\eta_f = \frac{A_p + \eta_j A_f}{A_p + A_f} \eta_f$$

### (三) 变截面或变导热系数的一维问题

前面几种情况的求解方法,都是先求解导热微分方程得其温度分布,然后按傅里叶定律获得热流密度和导热热流量,这是用分析法求解导热问题的一般顺序。根据傅里叶定律求解导热系数为变数或导热截面积沿热流密度矢量方向为变量时,可以采用直接对傅里叶导热定律表达式做积分的方法。

导热系数一般可表示为温度的函数  $\lambda(t)$ ,一维问题傅里叶定律的表达式为:

$$\Phi = -A \lambda(t) \frac{dt}{dx}$$

分离变量后积分,而热流量  $\Phi$  与  $x$  无关,得:

$$\Phi \int_{x_1}^{x_2} \frac{dx}{A} = - \int_{t_1}^{t_2} \lambda(t) dt$$

方程右边乘以  $(t_2 - t_1)/(t_2 - t_1)$  得:

$$\Phi \int_{x_1}^{x_2} \frac{dx}{A} = - \frac{\int_{t_1}^{t_2} \lambda(t) dt}{(t_2 - t_1)} (t_2 - t_1)$$

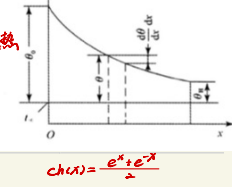
显然式中  $\frac{\int_{t_1}^{t_2} \lambda(t) dt}{(t_2 - t_1)}$  项是在  $t_1$  至  $t_2$  范围内  $\lambda(t)$  的积分平均值,可用  $\bar{\lambda}$  表示,则:

$$\Phi = \frac{\bar{\lambda}(t_1 - t_2)}{\int_{x_1}^{x_2} \frac{dx}{A}} \quad \text{对杆} \quad \Phi = \frac{\bar{\lambda}(t_1 - t_2)}{\int_{x_1}^{x_2} \frac{dx}{A}} = \frac{4\pi \bar{\lambda} (t_1 - t_2)}{P}$$

$\bar{\lambda}$  替代  $\frac{-\int_{t_1}^{t_2} \lambda(t) dt}{(t_2 - t_1)}$  不受到  $A$  与  $x$  关系的制约,所以适用于任何的  $A, x$ ,只要把具体问题的  $A$  与  $x$  的关系代入上式,就可得到适用于具体情况的计算公式。

在方程中若  $\lambda = \lambda_0 (1+bt)$  或  $\lambda = \lambda_0 + at$ ,  $\bar{\lambda}$  是算术平均温度下  $t = (t_1+t_2)/2$  的值,只需把前述公式的  $\lambda$  取平均温度下的值即可。

$$\begin{aligned} \text{肋片方程: } & \frac{d^2 t}{dx^2} + \frac{1}{\lambda} = 0 \\ \text{边界条件: } & t=0, t=t_0, \lambda=\lambda_0, \frac{dt}{dx}=0 \end{aligned}$$



用肋效率  $\eta_f$  表征肋片散热有效程度,定义为  $\eta_f$  实际散热量 / 假设整个肋表面处于肋基温度下的散热量。对于等截面直肋,其肋效率为

$$\eta_f = \frac{\frac{hP}{m} \theta_0 \text{ th}(mH)}{hP \theta_0} = \frac{\text{th}(mH)}{mH}$$

对于直肋,肋片长度  $L$  比其厚度  $\delta$  要大得多,可以取出单位长度来研究。其中参与换热的周界  $P=2L$ ,于是有

$$L \gg \delta$$

$$mH = \sqrt{\frac{hP}{\lambda A_c}} H = \sqrt{\frac{2h}{\lambda \delta}} H$$



① 当肋高  $H$  增加时,  $mH$  增大,  $\eta_f$  减小。这说明肋高并非越高越好。

② 肋片的导热系数  $\lambda$  增加,  $mH$  减小, 效率增加。这相当于增加图 2-10 中阴影部分的面积。

③ 当肋厚增加时,与增大  $\lambda$  的效果一样,同样使效率增加。  
注:增加  $\lambda$  和  $\delta$  之值都使得肋表面沿肋高方向的温度更接近于肋根温度,即沿肋高方向的导热热阻减小,从而沿肋高方向温度降低减小,故肋效率增加。如何合理选择肋片的高度、厚度、间距和形状等应从总散热效果来评定。

$\lambda \uparrow \eta_f \uparrow$   $H \uparrow \eta_f \downarrow$

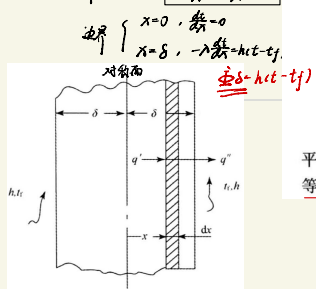
### 3. 肋片换热量的计算

肋片换热量的计算一般由以下三步组成:

- ① 根据已知参数计算肋效率  $\eta_f$ ;
- ② 假定肋表面温度与肋基温度相等,计算理想换热量  $\Phi_{理}$ ;
- ③ 根据肋效率的定义计算肋片实际换热量,即  $\Phi = \eta_f \Phi_{理}$ 。

内热源的一维导热：

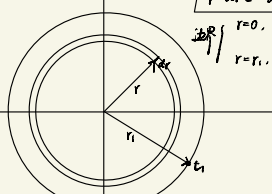
$\frac{d^2\theta}{dx^2} + \frac{\dot{Q}}{\lambda} = 0$



圆柱+内热源

$$\frac{1}{r} \frac{d}{dr} \left( r \frac{d\theta}{dr} \right) + \frac{\dot{Q}}{\lambda} = 0$$

$$r=0, \frac{d\theta}{dr}=0 \quad \rightarrow t = \frac{1}{4} \frac{\dot{Q}}{\lambda} (r^2 - r_1^2) + t_i \\ \text{中心 } t_{max} = t_i + \frac{\dot{Q}}{\lambda} r_1^2$$

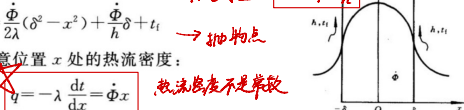
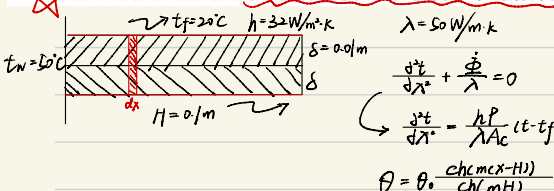


(华中科技大学 2004 年考研试题)在圆管外表加装肋片, 就一定能够增强传热吗? 为什么?

解: 不一定。因为加装肋片会增大流动阻力, 对于不同流体, 其综合影响不一定增强传热。

(华中科技大学 2004 年考研试题)如图 2-8 所示, 一厚度为 10mm、导热系数为 50W/(m·K) 的不锈钢板, 两端维持固定温度 50℃, 已知钢板两端之间的距离为 20cm, 在垂直直面方向很长。钢板上表面绝热, 下表面有 20℃的空气缓慢流动, 对流表面传热系数为 32W/(m<sup>2</sup>·K)。试导出此钢板的导热微分方程, 求解所导出的方程得出温度分布, 并求出钢板中心的温度值。双曲函数的相关数值如表 2-1 所示。

解: 由于对称性, 此问题等效为原厚度两倍, 长度一半的肋片问题。



与无内热源的平壁导热的比较: ①无内热源的平壁导热, 其内温度成线性分布; 而有内热源的平壁导热, 其内温度成抛物线分布; ②无内热源的平壁导热, 其通过板内任意断面的热流密度相等, 即  $q = \text{constant}$ , 而有内热源的平壁导热, 其通过板内任意断面的热流密度不等。

【2-1】(华中科技大学 2006 年考研试题)写出肋效率  $\eta_r$  的定义。对于等截面直肋, 肋效率受哪些因素影响?

解: 肋效率  $\eta_r$  的定义: 肋表面的实际散热量与假设整个肋表面处于肋基温度时的散热量的比值。对于等截面直肋,  $\eta_r = \frac{th(mH)}{mH}$ , 其中  $m = \sqrt{\frac{hP}{\lambda A_c}}$ , 影响因素: 材料的导热系数  $\lambda$ ; 肋表面的换热系数  $h$ ; 肋片高度等尺寸因素。

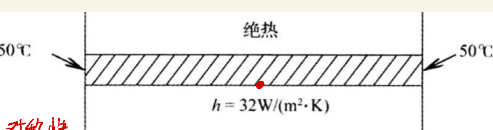
【2-2】(华中科技大学 2005 年考研试题)试说明推导热微分方程所依据的基本定律。

解: 能量守恒方程和傅里叶定律。

【2-3】(华中科技大学 2005 年考研试题)导热系数和热扩散系数各自从什么公式产生? 它们各自反映了物质的什么特性? 并指出它们的差异。

解: 导热系数是从傅里叶定律定义出来的一个物理量, 它反映了物质的导热性能; 热扩散系数是从导热微分方程定义出来的一个物理量, 它放映了物质的热量扩散性能, 也就是热流在物体内的渗透的快慢程度。两者的差异在于前者是导热过程的静态特性, 而后者则是导热过程的动态特性, 因而扩散系数反映的是非稳态导热过程的特征。

$$\eta_r = \frac{th(mH)}{mH}$$



对称性

$$\frac{P}{A_c} = \frac{2L + 4\delta}{2L + 8} (L \rightarrow \infty) = \frac{1}{6}$$

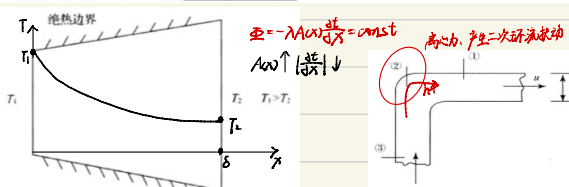
$$mh = 0.1 \times \sqrt{\frac{32}{50 \times 0.01}} = 0.8 \\ \theta = t_w - t_f = 30^\circ\text{C} \\ \text{而中心即端部 } \theta_1 = \frac{P}{ch(mH)} = \frac{30^\circ\text{C}}{ch(0.08)} = 22.39^\circ\text{C}$$

【2-6】(西安交通大学 2005 年考研试题)常物性无内热源的稳态导热方程  $\nabla^2\theta = 0$  中不包含任何物性量, 这是否说明导热物体中的温度分布与导热物体的物性无关, 为什么?

答: 常物性、无内热源的导热微分方程是导热微分方程的一般形式的简化结果, 公式中只有在物体的导热率为常数时, 才能简化为  $\nabla^2\theta = 0$ 。若导热系数不为常数, 则上式便不成立。

故上式不能说明物体中的温度分布与物性无关。

【2-7】(西安交通大学 2004 年考研试题)定性绘出在稳态导热条件下图 2-9 所示物体内的温度分布并说明理由。设物体导热系数  $\lambda$  为常数。



【2-8】(西安交通大学 2003 年考研试题)用套管式温度计测量管道中流体的温度, 为减小测温误差。

(1) 有铜和不锈钢两种材料, 用哪一种做套管较好? 为什么?  
(2) 将套管温度计安装在图 2-10 中①、②、③哪个位置较好? 为什么?

解: 温度计套管产生误差的主要原因是由于沿肋高(即套管长度方向)有热量导出和套管表面与流体之间存在换热热阻。因而要减小温度计套管的测温误差, 可以选择导热系数小的材料, 增加导热热阻, 故选不锈钢。

套管温度计安装在②处比较好, 因为流体在流过②处时, 由于离心力的作用, 在横截面上产生了二次环流, 增加了扰动, 从而强化了换热, 对应的  $h$  增加, 从而使测温误差减小。

【2-1】(北京科技大学 2007 年考研试题)半径为  $r_0$  的球, 其热导率(导热系数)为  $\lambda$ , 单位体积发热量为  $\dot{Q}$ , 浸没在温度为  $t_0$  的流体中, 流体与球表面间的对流传热热系数为  $h$ 。求稳态时球内的温度分布, 并计算当  $r_0 = 0.1 \text{ m}$ ,  $\lambda = 4.5 \text{ W/m}\cdot\text{K}$ ,  $\dot{Q} = 5000 \text{ W/m}^3$ ,  $h = 15 \text{ W/(m}^2\cdot\text{K)}$ ,  $t_0 = 20^\circ\text{C}$  时, 球内的最高温度。

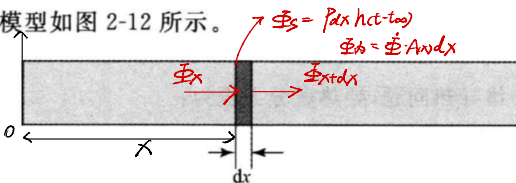
$$\begin{aligned} &\star \frac{1}{r} \frac{d}{dr} \left( r \frac{d\theta}{dr} \right) + \frac{\dot{Q}}{\lambda} = 0 \quad \frac{d}{dr} \left( \lambda \frac{d\theta}{dr} \right) = -\frac{\dot{Q}}{r} \\ \textcircled{1} \quad &\text{边界: } t = T \text{ 时 } -\frac{d\theta}{dr} = h(t - t_f) \\ &r = 0 \text{ 时 } \theta = 0 \quad \rightarrow \frac{d\theta}{dr} = -\frac{1}{r} \frac{d\theta}{dr} + C_0 \\ &\dots \frac{d\theta}{dr} = -\frac{1}{r} \frac{d\theta}{dr} + C_1 \quad \rightarrow C_1 = \frac{1}{r} \theta_0 + \frac{1}{r} \theta_0 + t_f \\ &\rightarrow t = -\frac{1}{r} \frac{d\theta}{dr} + C_1 \\ &t = \frac{1}{r} \theta + \frac{1}{r} \theta_0 + t_f \quad \text{最高温度在 } r=0 \text{ 处 } \theta_0 = \dots \end{aligned}$$

② 由热平衡  $\frac{1}{r} \lambda \frac{d\theta}{dr} = -\lambda \cdot 4\pi r^2 \frac{dt}{dr}$  微分法

$$\begin{aligned} &\text{【2-3】(上海交通大学 2002 年考研试题)厚 } \delta = 10 \text{ cm}, \text{ 内热源 } \dot{Q} = 3 \times 10^4 \text{ W/m}^3 \text{ 的大壁的一个表面 } x = 0 \text{ 为绝热面, 另一个表面 } x = \delta \text{ 露于 } t_0 = 25^\circ\text{C} \text{ 的空气中。已知气与壁面之间的对流传热热系数 } h = 50 \text{ W/m}^2\cdot\text{K}, \text{ 壁的导热系数 } \lambda = 3 \text{ W/(m}\cdot\text{K})} \\ &(1) \text{ 写出壁的稳态导热微分方程及边界条件。} \\ &\text{【2-4】找出最高壁温 } t_{max} \\ &\text{【1】} \frac{d\theta}{dx} = 0 \quad |_{x=0} \quad \frac{d\theta}{dx} = 0 \quad |_{x=\delta} \quad \text{舍去的项} \\ &\text{【2】} \text{ 对最高壁温 } t_{max} \quad \frac{d\theta}{dx} = 0 \quad |_{x=\delta} \quad \text{舍去的项} \quad t_{max} = t_{max} = \dots \\ &\text{【3】} \frac{d\theta}{dx} = 0 \quad |_{x=0} \quad \frac{d\theta}{dx} = 0 \quad |_{x=\delta} \quad \text{舍去的项} \quad t_{max} = t_{max} = \dots \\ &\text{【4】} \frac{d\theta}{dx} = 0 \quad |_{x=0} \quad \frac{d\theta}{dx} = 0 \quad |_{x=\delta} \quad \text{舍去的项} \quad t_{max} = t_{max} = \dots \end{aligned}$$

~~【2-14】~~ (上海交通大学 2002 年考研试题) 试导出具有内热源  $\dot{\Phi}$ 、变截面  $A(x)$ 、变导热系数  $\lambda(t)$ 、截面周长为  $P$  的细杆状扩展体一维稳态界热问题的温度场微分方程 (不需展开和化简)。

解: 本问题的简化模型如图 2-12 所示。



分析如图所示的微元块, 根据傅里叶定律可知, 微元段的导入热为:

$$\Phi_x = -\lambda(t)A(x)\frac{dt}{dx}$$

微元段表面换热量为:

$$\Phi_t = \dot{\Phi} A(x) dx$$

微元段的导出热为:

$$\Phi_{x+dx} = -\left[\lambda(t) + \frac{\partial \lambda}{\partial t} dt\right] \left[A(x) + \frac{\partial A}{\partial x} dx\right] \frac{d}{dx} \left(t + \frac{\partial t}{\partial x} dx\right)$$

根据能量守恒, 可得热平衡方程为:

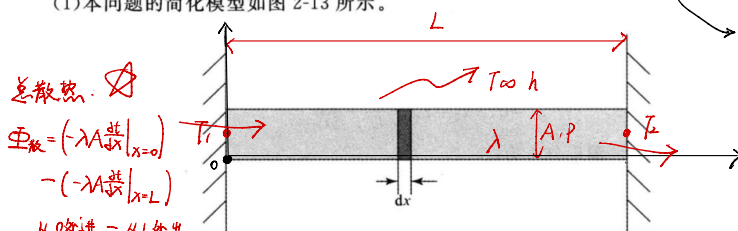
$$\Phi_x - \Phi_{x+dx} + \Phi_t - \Phi_s = 0$$

微元段内热源的生成热为:

**【2-15】** (上海交通大学 2001 年考研试题) 一长为  $L$  的薄板, 两端分别接于温度为  $T_1$  与  $T_2$  的墙壁上, 板以对流方式将热量传给温度为  $T_\infty$  的周围流体, 假定  $T_1 > T_2 > T_\infty$ , 板与周围流体间的对流传热系数为  $h$ , 板的导热系数为  $\lambda$ , 板的横截面面积为  $A$ , 横截面的周长为  $P$ , 试推导出: ①板的温度分布; ②板的散热量。

解:

(1) 本问题的简化模型如图 2-13 所示。



$$\frac{\partial^2 t}{\partial x^2} + \frac{\dot{\Phi}}{\lambda} = 0$$

$$\dot{\Phi} = \frac{-\dot{\Phi}_s}{A \cdot dx}$$

$$\frac{\partial^2 t}{\partial x^2} = \frac{hP}{\lambda A} (t - t_\infty) \quad \frac{\partial^2 \theta}{\partial x^2} = m^2 \theta$$

$$m = \sqrt{\frac{hP}{\lambda A}}$$

$$\begin{cases} x=0 & \theta = \theta_1 = t_1 - t_\infty \\ x=L & \theta = \theta_2 = t_2 - t_\infty \end{cases}$$

$$\theta = C_1 e^{mx} + C_2 e^{-mx}$$

根据定解条件可得:

$$c_1 = \frac{\theta_2 - \theta_1 e^{-ml}}{e^{ml} - e^{-ml}}, \quad c_2 = \frac{\theta_1 e^{ml} - \theta_2}{e^{ml} - e^{-ml}}$$

由此可得板的温度分布为:

$$\theta = \theta_2 \frac{\sin(mx)}{\sin(mL)} + \theta_1 \frac{\sinh[m(L-x)]}{\sinh(mL)}$$

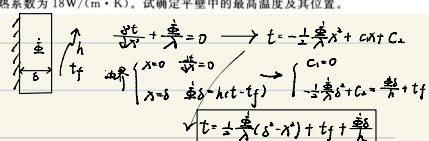
(2) 对上式求导, 可得:

$$\frac{\partial \theta}{\partial x} = m\theta_2 \frac{\sinh(mx)}{\sinh(mL)} - m\theta_1 \frac{\sinh[m(L-x)]}{\sinh(mL)}$$

根据导热基本定律以及能量守恒可知板的散热量为:

$$\Phi = \lambda A \left( \frac{\partial t}{\partial x} \Big|_{x=L} - \frac{\partial t}{\partial x} \Big|_{x=0} \right) = \lambda A m (\theta_2 - \theta_1) \frac{\sinh(mL) - 1}{\sinh(mL)}$$

**【2-21】** (东南大学 2002 年考研试题) 一个厚度 7cm 的平壁, 一侧绝热, 另一侧暴露于温度为 30°C 的流体中, 内热源  $\dot{\Phi} = 0.3 \times 10^6 \text{ W/m}^3$ 。对流传热表面的传热系数为 450W/(m<sup>2</sup> · K), 平壁的导热系数为 18W/(m · K)。试确定平壁中的最高温度及其位置。



**【2-23】** (东南大学 2000 年考研试题) 半径为  $r$  的圆球, 其热导率 (导热系数) 为  $\lambda$ , 单位体积发热量为  $\dot{\Phi}$ , 浸没在温度为  $t_i$  的流体中, 流体与球表面间的对流换热系数为  $h$ 。求稳态时:

(1) 圆球内的温度分布。

(2) 当  $r_i = 0.1 \text{ m}$ ,  $\lambda = 4.5 \text{ W}/(\text{m} \cdot \text{K})$ ,  $\dot{\Phi} = 5000 \text{ W}/\text{m}^3$ ,  $h = 15 \text{ W}/(\text{m}^2 \cdot \text{K})$ ,  $t_i = 20^\circ\text{C}$  时, 球内的最高温度。

$$\text{解: } \frac{1}{r} \frac{\partial r}{\partial x} \frac{\partial t}{\partial x} = -\lambda \frac{\partial^2 t}{\partial r^2} \rightarrow -\frac{1}{r} \frac{\partial r}{\partial x} \frac{\partial t}{\partial x} = \frac{\lambda}{r^2} \frac{\partial^2 t}{\partial r^2} \rightarrow t = -\frac{\lambda}{6} \frac{r^3}{x^2} + C_1 x + C_2$$

$$\text{边界: } x=r_i, \frac{\partial t}{\partial x} = h \cdot \frac{\partial r}{\partial x} \rightarrow t = \frac{\lambda r_i^2}{3k} + t_f \rightarrow C_1 = \frac{\lambda r_i^2}{3k} + \frac{\lambda r_i^2}{3k} + t_f$$

$$t = \frac{\lambda r_i^2}{6} \left( \frac{r^2}{x^2} - 1 \right) + t_f$$

**【2-19】** (东南大学 2002 年考研试题) 名词解释: 接触热阻。

答: 如图 2-19 所示, 两个名义上互相接触的固体表面, 实际上接触仅发生在一些离散的面上, 在未接触的界面之间的间隙中充满空气, 热量将以导热的方式穿过这种气隙。这种情况与两固体表面真正完全接触相比, 增加了附加的传递阻力, 称为接触热阻。

接触热阻只出现在界面之间存在间隙, 其主要原因是, 在传热过程中作为附加热阻, 增加了传热阻力。

**【2-20】** (东南大学 2000 年考研试题) 一长为  $H$ , 宽为  $b$ , 厚度为  $\delta$  的铝板水平放置 ( $\delta > b$ )。  
长度方向两端绝热, 周围空气的温度为  $t_i$ , 与铝板的对流传热系数为  $h$ 。  
铝板的热导率为  $\lambda$ , 求铝板的温度分布。  
**解:** 本题的模型示意图如图 2-22 所示。

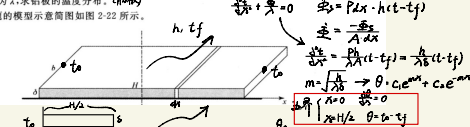


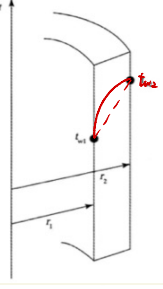
图 2-19



【2-51】(重庆大学2007年考研试题)如图2-29所示,通过圆筒壁的一维稳态导热,设壁体导热系数为常数,壁温 $t_{wi} < t_{eo}$ ,圆筒内外半径之比 $r_1/r_2 = 0.9$ 。试求:

- (1)绘出壁内的温度分布曲线。  
(2)内外壁表面温度梯度的比值。

$$T = -\lambda \frac{dt}{dr} A \downarrow \text{壁内}$$



【2-54】(重庆大学2005年考研试题)空间直角坐标系中的导热微分方程:

$$\rho c \frac{\partial T}{\partial x} = \frac{\partial}{\partial x} (\lambda \frac{\partial T}{\partial x}) + \frac{\partial}{\partial y} (\lambda \frac{\partial T}{\partial y}) + \frac{\partial}{\partial z} (\lambda \frac{\partial T}{\partial z}) + \dot{q}$$

根据下列各条件分别简化该方程:  
(1) 导热体内物性参数为常数,无内热源 $\frac{\partial T}{\partial x} + \frac{\partial T}{\partial y} + \frac{\partial T}{\partial z} = 0$   
(2) 二维稳态温度场,无内热源 $\rightarrow \frac{\partial^2 T}{\partial x^2} + \frac{\partial^2 T}{\partial y^2} = 0$   
(3) 导热体内物性参数为常数,一维稳态温度场 $\frac{\partial T}{\partial x} = 0$

【2-53】(重庆大学2006年考研试题)如图2-31所示坐标,一厚度为 $\delta$ 、导热系数 $\lambda$ 为常数的大平壁,壁内具有均匀内热源 $\dot{q}$ ,壁两侧分别保持恒定温度 $t_{wi}$ 和 $t_{eo}$ 。试求:

- (1)建立这一导热问题完整的数学描写(即写出微分方程式和求解所需定解条件)。  
(2)推导出温度分布表达式。

(3)若 $\delta = 0.48$ , $\lambda = 0.96 W/(m \cdot ^\circ C)$ , $\dot{q} = 200 W/m^3$ , $t_{wi} = 36^\circ C$ , $t_{eo} = 24^\circ C$ ,求壁内最高温度点位置及最高温度,并在图上绘出温度分布线。

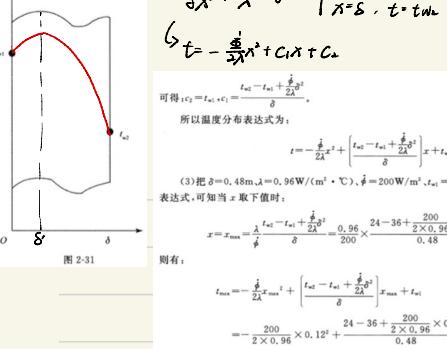


图 2-31

【2-64】(清华大学2006—2007学年第1学期期末考试题)在同样的加热或冷却条件下,(A)。

- A. 物体内部各处温度差别愈小,则其导温系数 $\alpha$ 值愈大  
B. 物体内部各处温度差别愈大,则其导温系数 $\alpha$ 值愈小  
C. 热系数 $\alpha$ 值及热容量 $c$ 愈大,则 $\alpha$ 愈大。

【2-66】(清华大学2006—2007学年第1学期期末考试题)何谓肋片效率?采用加装肋片来强化传热,对肋片的选材、肋片的形状和肋片效率有何要求?

解:肋片效率为肋片的实际散热量与假设整个肋片温度都与肋根温度相同时的理想散热量之比。肋片效率的主要影响因素有:

- (1) 肋片材料的导热率,导热率愈大,肋片效率愈高。  
(2) 肋片高度,肋片愈高,肋片效率愈低。  
(3) 肋片厚度,肋片愈厚,肋片效率愈高。  
(4) 表面传热系数,表面传热系数愈大,肋片效率愈低。

【2-80】(中国石油大学<华东>2005—2006学年第2学期期末考试题)两块厚度相同的无限大平壁,分别由金属铜和木头制成。若保持其两侧表面温度对应相等,那么,在常物性、稳态导热的情况下两平壁内的温度分布是否相同?为什么?

解:相同。因为对于常物性、无内热源的无限大平壁的稳态导热,第一类边界条件下其温度分布仅取决于边界温度,而与材料的导热系数无关。

【2-56】(西北工业大学2001年考研试题)在稳态、常物性、无内热源的导热中,物体内部某一点的温度是否会低于其表面上任意一点的温度?为什么?

解:不可能。假设物体内部某一点的温度低于其表面上任意一点的温度,那么分析该点的传热过程只存在从外界吸热,这显然不能满足能量守恒定律。所以在稳态、常物性、无内热源的导热中,物体内部某一点的温度不可能低于其表面上任意一点的温度。

【2-57】(西北工业大学2001年考研试题)设计肋片时,是防止单片越长越好吗?

解:不是。因为设计的肋片越长固然能通过增加表面积来强化传热,但是同时增加了固体导热热阻,降低了肋效率。所以,设计肋片并不是肋片越长越好。

【2-58】(中国科学院2009年考研试题)写出导热率和热扩散系数的定义式,并给出两者的物理意义和单位。

解:导热系数的定义式由傅里叶定律的数学表达式给出: $\lambda = \left| \frac{q}{\frac{\partial T}{\partial x}} \right|$ 。它等于在单位温度梯度作用下物体内部热流密度矢量的模,单位为 $W/(m \cdot K)$ 。

热扩散率的定义式为: $\alpha = \lambda / (\rho c)$ 。它的物理意义是材料传播温度变化能力大小的指标,单位为 $m^2/s$ 。

【2-59】(中国科学院2009年考研试题)何为肋片有效度?热水流过一根管子将热能传至流过管子外表面的空气,为增强换热,应将肋片装在管子的内表面还是外表面?请给出理由。

解:肋片有效度是指肋片散热量与没有肋片时肋基处的散热量之比,其表达式为:

$$E_f = \frac{q}{hA\theta} \quad \text{越小,越大的地热}$$

由于管外侧的对流传热系数较小,由上式可知,从强化传热角度考虑,应在管外侧表面上添加肋片。

【2-60】(中国科学院2008年考研试题)给出一维传热中常见的三种边界条件,并画出边界处温度分布的示意图。

解:

(1) 规定了边界上的温度值。如图2-33温度分布的示意图所示,规定边界温度保持常数,即 $t_w = \text{常量}$ 。

(2) 规定了边界上的热流密度值。如图2-34的温度分布示意图所示,规定边界上的热流密度保持定值,即 $q_w = -\lambda \frac{\partial T}{\partial x} \Big|_{x=0} = \text{常数}$ 。

(3) 规定了边界上物体与周围流体间的表面传热系数 $h$ 及周围流体的温度 $t_\infty$ 。如图2-35的温度示意图所示,第三类边界条件可表示为: $-\lambda \frac{\partial T}{\partial n} \Big|_{x=0} = h(t_\infty - t_w)$ 。

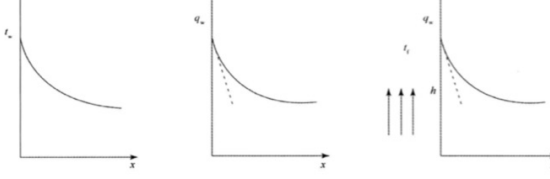


图 2-33

图 2-34

图 2-35

【2-61】(中国科学技术大学2000年考研试题)已知一根一维均质棒,在稳态、无内热源条件下,实验发现 $\frac{dT}{dx} < 0$ (式中 $T$ 为温度, $x$ 为空间坐标),试判断棒材的导热系数 $\lambda(t)$ 随 $t$ 增大,还是减小?

$$T_x - \frac{dT}{dx} + \lambda(t) \frac{d^2 T}{dx^2} = 0$$

解:根据傅里叶定律可知: $q = -\lambda(t) \frac{dT}{dx}$ 。等式两边对 $x$ 求导,得:  
 $0 = \frac{d\lambda}{dt} \left( \frac{dT}{dx} \right)^2 + \lambda \frac{d^2 T}{dx^2}$   
因为 $\lambda > 0$ , $\frac{dT}{dx} < 0$ ,所以 $\frac{d\lambda}{dt} > 0$ 。  
由此可以判断,棒材的导热系数 $\lambda(t)$ 随 $t$ 增大。

#### 4. 解的应用

在将上述分析解应用于计算肋片效率之前, 先来分析温度计套管的测温误差, 读者应注意这里是如何将表面上看来与肋片风马牛不相及的温度计套管与肋片导热问题联系起来的。

套管温度计与增加肋片是相反过程, ~~减少热量损失~~

#### 例题 2-7 温度计套管测温误差的分析

肋片模型 压气机设备的储气筒里的空气温度用一支插入装油的铁套管中的玻璃水银温度计来测量, 如图 2-22 所示。已知温度计的读数为 100 ℃, 储气筒与温度计套管连接处的温度  $t_0 = 50$  ℃, 套管高  $H = 140$  mm、壁厚  $\delta = 1$  mm、管材导热系数  $\lambda = 58.2 \text{ W}/(\text{m} \cdot \text{K})$ , 套管外表面的表面传热系数  $h = 29.1 \text{ W}/(\text{m}^2 \cdot \text{K})$ 。试分析:(1) 温度计的读数能否准确地代表被测地点处的空气温度;(2) 如果不能, 分析其误差有多大。

不能

#### 题解

分析: 由于温度计的感温泡与套管顶部直接接触, 可以认为温度计的读数就是套管顶端的壁面温度  $t_H$ 。温度计套管与其四周环境之间发生着三种方式的热量传递, 即从套管顶端向根部的导热①、从压缩空气向套管外表面的对流传热②、从套管外表面向储气筒筒身的辐射传热③。稳态时, 套管从压缩空气获得的热流量正好等于套管向筒身的导热及辐射传热之和。因而, 套管的壁面温度必然低于压缩空气的温度, 即存在着测温误差。

套管中每一截面上的温度可认为是相等的, 因而温度计套管可以看成截面积为  $\pi d\delta$  的一等截面直肋( $d$  为套管直径)。而所谓测温误差, 就是套管顶端的过余温度  $\theta_H = t_H - t_f$  此处  $t_f$  是筒内空气的温度①。

假设: 通过上述分析, 可以将所研究的问题看成一维稳态等截面直肋的导热问题, 采用肋片分析中的各项假定。

计算: 据式(2-50)有

$$\theta_H = \frac{\theta_0}{ch(mH)} \rightarrow t_H - t_f = \frac{t_0 - t_f}{ch(mH)}$$

$$mH = \sqrt{\frac{hP}{\lambda A_c}} H = \sqrt{\frac{h}{\lambda \delta}} H = 2.13 \rightarrow t_f = 104.7^\circ\text{C}$$

$$t_H - t_f = \frac{t_0 - t_f}{ch(mH)}$$

$$m^2 = \frac{hP}{\lambda A_c} \quad \left\{ \begin{array}{l} P = \pi d \\ A_c = \pi d\delta \end{array} \right.$$

$$\text{误差: } t_f - t_H = 4.7^\circ\text{C} \quad \text{减少 } t_H - t_f \text{ 要 } ch(mH) \uparrow \quad \text{减少 } \theta_H = t_H - t_f \quad mH \uparrow$$

$$\frac{hP}{\lambda A_c} H = \sqrt{\frac{h}{\lambda \delta}} H$$

$$\left\{ \begin{array}{l} \lambda \downarrow mH \uparrow \text{导致} \\ mH \uparrow \text{管高} \uparrow, S \downarrow \text{厚度} \downarrow mH \uparrow \\ h \uparrow \text{对流换热} \uparrow mH \uparrow \end{array} \right.$$

#### 2.4.4 肋片的选用与最小重量肋片

$$\text{增加传热面积 } \frac{S/A}{1/h} = \frac{S}{h} = Bi$$

为了增加传热量, 由式(1-6)、式(1-11)知可以采用增加传热面积的方法。在基础表面上增加肋片是在一定的材料消耗下极大限度地增加传热面积的有效方法。另外, 采用肋片后增加了通过固体的导热热阻, 此时式(1-11)中的总传热系数可能会受到影响。所以是否采用在基础上增加肋片取决于加肋片后总的传热阻力是增加还是减小。~~但是肋片加大了对流传热面积, 有利于减小总面积热阻, 但是肋片增加了固体导热阻力。因此, 增加肋片是否有利取决于肋片的导热阻力(用 } \frac{\delta}{\lambda} 表示) 与表面对流传热阻力(用 } \frac{1}{h} 表示) 之比。~~

$$\frac{\delta}{\lambda} \text{ 与 } \frac{1}{h} \quad Bi \quad Bi < 0.25$$

这一比值构成一个量纲为一的数, 称为毕渥数①, 记为  $Bi$ 。对等截面的直肋, 当  $Bi \leq 0.25$

时( $\delta$  为肋片的半厚), 加肋总是有利的<sup>[22]</sup>。一般工程应用中, 肋片总是用导热系数高的金属做成, 当换热介质为空气时, 采用肋片对强化传热总是有效的。例如空调器的蒸发器、冷凝器中的整体式翅片, 航空发动机叶片尾部的针肋——短的圆柱形或方形的直肋(参见第 1 章习题 1-36)。

对于肋片而言, 肋片具有以下特点:

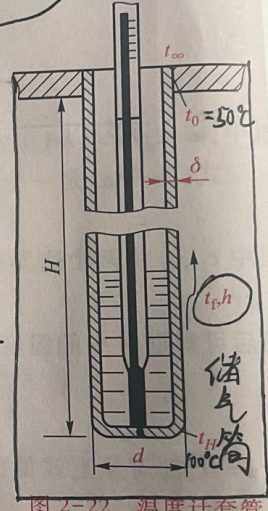
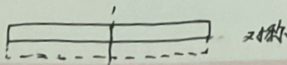


图 2-22 温度计套管

### 例题 2-1 平板式太阳能集热器的平板温度场分析

图 2-31 示出了平板式太阳能集热器的一种简单的吸热板结构。吸热板面向太阳的一面涂有一层对太阳辐射吸收比很高的材料,吸热板的背面设置了一组平行的管子,其内通以冷却水以吸收太阳辐射,管子之间则充满绝热材料。吸热板的正面在接受太阳辐射的同时受到环境的冷却,设净吸收的太阳辐射为  $q_r$ ,表面传热系数为  $h$ ,空气温度为  $t_\infty$ ,管子与吸热板结合处的温度为  $t_0$ ,试写出确定吸热板中温度分布的数学描写并求解之。



题解

绝热/保温材料 → 对称

假设:首先对这一问题做以下简化假设:(1)在垂直于纸面方向上管板的长度远大于其厚度,因而可以取一个截面来研究;(2)任意两根相邻冷却水管间的温度分布可以认为是一样的;(3)吸热板背面绝热良好,因而背面相当于对称面;(4)相邻两冷却水管间吸热板的温度分布关于中间截面对称,因而中间截面也是一个绝热面;(5) $\delta/\lambda \ll 1/h$ ,因而任一 $x$ 截面处沿厚度方向的温度变化可以不计。

分析:经过上述假设,太阳能集热器吸热板中的温度分布问题就成为如图 2-32 所示的等截面直肋中的导热问题,采用分析肋片导热时的前三个假设。

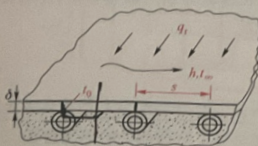


图 2-31 平板式太阳能集热器吸热板

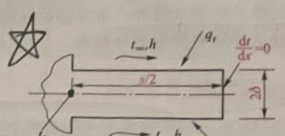


图 2-32 吸热板导热的简化模型

推导:肋片的导热微分方程与边界条件为

$$\frac{d^2t}{dx^2} + \frac{\dot{\Phi}}{\lambda} = 0$$

$$x=0, t=t_0; x=\frac{s}{2}, \frac{dt}{dx}=0$$

$\dot{\Phi} = hPdx(t-t_\infty) - q_rPdx$

$\dot{\Phi} = -\frac{hP}{A_c}dx$

现在进一步导出式(i)中源项  $\dot{\Phi}$  的表达式仿照前面的分析,可以写出

$$\dot{\Phi} = \frac{-hP(t-t_\infty)A_cq_rP}{A_c}$$

$$= -\frac{hP}{A_c}\left(t-t_\infty-\frac{q_r}{h}\right)$$

$$(i) \quad \frac{d^2t}{dx^2} + \frac{hP}{\lambda A_c}(t-t_\infty)dx + q_rPdx = hPct - \frac{q_r}{h}dx$$

② 对流折算  $\frac{q_rPdx - hPct - q_r}{Ac dx}$

$$\dot{\Phi} = \frac{q_rP - hPct - q_r}{Ac}$$

(k)

代入式(i)得

$$\frac{d^2t}{dx^2} = \frac{hP}{\lambda A_c}\left(t-t_\infty-\frac{q_r}{h}\right)$$

$$\theta = t-t_\infty - \frac{q_r}{h}$$

$$\frac{d^2t}{dx^2} = m^2 \theta$$

$$m^2 = \frac{hP}{\lambda A_c}$$

$$\rightarrow \frac{d\theta}{dx} - m^2 \theta = 0$$

为使式(I)成为齐次方程,定义  $\theta = t-t_\infty - \frac{q_r}{h}$ 。于是得

$$\frac{d^2t}{dx^2} = m^2 \theta$$

$$x=0, \theta=\theta_0; x=\frac{s}{2}, \frac{d\theta}{dx}=0$$

$$\theta = C_1 e^{mx} + C_2 e^{-mx}$$

$$\theta = \theta_0 = t_0 - t_\infty$$

$$x = \frac{s}{2} \rightarrow \frac{d\theta}{dx} = 0$$

(2-49) 显然就是这一问题的解,而只要将其中的  $H$  用  $s/2$  来代替即可,此处不再列出。

讨论:与本节前面分析的等截面直肋的不同在于增加了表面的辐射吸热量,但引入过余温度使方程齐化后,得到完全相同的数学描写,可见过余温度概念的重要性。另外,由于对称性,本例中肋片顶端绝热严格成立的条件,而不是近似的假设。

$$\theta = \theta_0 \frac{ch(m(x-H))}{ch(mH)}$$

$$= \theta_0 \frac{ch(m(x-\frac{s}{2}))}{ch(m\frac{s}{2})}$$



## 2. 讨论 $Bi$ 与 $Fo$ 对温度场的影响

$$T \uparrow F_o \uparrow \theta_o = \exp(-Bi \cdot F_o) \downarrow \therefore \theta \downarrow$$

(1) 傅里叶数  $Fo$ : 物体中各点的过余温度随时间  $\tau$  的增加而减小; 而  $Fo$  与  $\tau$  成正比, 所以物体中各点过余温度亦随  $Fo$  的增大而减小。

(2) 毕渥数  $Bi$  对温度的影响从以下两方面分析:

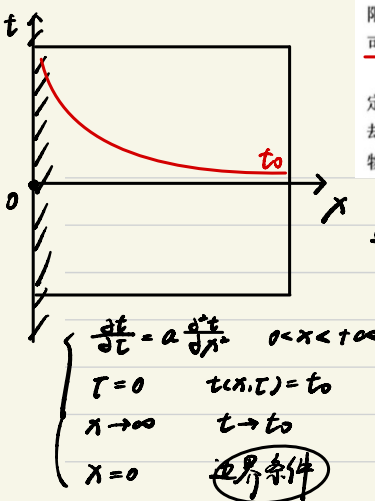
一方面,  $Fo$  相同时,  $Bi$  越大,  $\frac{\theta_m}{\theta_0}$  越小。因为,  $Bi$  越大, 意味着固体表面的换热条件越强, 导致物体的中心温度越迅速地接近周围介质的温度。在极限情况下,  $Bi \rightarrow \infty$  时, 意味着在过程开始瞬间物体表面温度就达到介质温度, 物体中心温度变化也最迅速, 所以在诺模图中  $1/Bi=0$  时的线就是壁面温度保持恒定的第一类边界条件的解。

知: 当  $\frac{1}{Bi} > 10$  (即  $Bi < 0.1$ ) 时, 截面上的过余温度差小于 5%, 当  $Bi$  下限一直推到 0.01 时, 其分析与集中参数法的解相差极微。

$$Bi < 0.1$$

由此可见: 介质温度恒定的第三类边界条件下的分析解, 当  $Bi \rightarrow \infty$  时, 转化为第一类边界条件下的解,  $Bi \rightarrow 0$  时, 则与集中参数法的解相同。

## 半无限大物体非稳态导热



### (一) 半无限大物体的非稳态导热分析解及讨论

半无限大物体几何上是指从  $x=0$  的界面开始可以向正的  $x$  方向及向上、向下两个方向无限延伸的物体, 称半无限大物体。实际上不存在该物体, 但研究物体中非稳态导热的初始阶段, 可把实物看作半无限大物体处理。

如: 有限厚度的平板, 起初有均匀温度, 后其侧表面突然受到热扰动, 如壁温突然升高到一定值并保持不变; 壁面突然受到恒定的热流量密度加热; 壁面受到温度恒定的流体的加热或冷却。当扰动的影响只局限在表面附近, 而尚未进入平板内部时, 就可视该平板为“半无限大”物体。

- 第一类: 温度恒定  $t_w \quad t < 0, x = t_w$
- 二: 恒定热流  $q_w \quad q_w = -\lambda \frac{dt}{dx}$
- 三: 与  $t_w$  流体加热  $h[t_w - t(x, \tau)] = -\lambda \frac{dt}{dx}$

教材中分别给出了三种边界条件下半无限大物体温度场的分析解, 以第一类边界条件下半无限大物体非稳态导热温度场的分析解为例加以分析。

半无限大物体初始温度均匀为  $t_0$ , 当  $\tau=0$  时,  $x=0$  侧表面温度突然升高到  $t_w$ , 并保持不变, 试确定物体内部温度随时间的变化的分析解为:

$$\frac{\theta}{\theta_0} = \frac{t - t_w}{t_0 - t_w} = \frac{2}{\sqrt{\pi\tau}} \int_{-\infty}^{\frac{x}{\sqrt{4\tau}}} e^{-\eta^2} d\eta = \text{erf}\left(\frac{x}{2\sqrt{4\tau}}\right) = \text{erf}\eta$$

其中, 无量纲变量  $\eta = \frac{x}{2\sqrt{4\tau}}$ ;  $\text{erf}\eta$  称为误差函数, 它随  $\eta$  的变化而变化, 当  $\eta \geq 2$  时,  $\theta/\theta_0 = 0.9953$ , 就是说当  $\eta \geq 2$ , 即  $\frac{x}{2\sqrt{4\tau}} \geq 2$  时, 该处  $x$  的温度仍认为等于  $t_w$ 。

$$x \geq 4\sqrt{4\tau} \rightarrow t_w$$

由此得到以下两个重要参数:  $x \geq 4\sqrt{4\tau}$

(1) 从几何位置上说, 若  $x \geq 4\sqrt{4\tau}$ , 则  $\tau$  时  $x$  处的温度可认为未发生变化, 所以, 对初始温度均匀且厚为  $2\delta$  的平板, 当其一侧温度突然变化到另一恒定温度时, 若  $\delta \geq 4\sqrt{4\tau}$ , 则在  $\tau$  时刻之前该平板中瞬时温度场的计算可采用半无限大物体模型处理。

(2) 从时间上看, 如果  $\tau \leq \frac{x^2}{16a}$ , 则此时  $x$  处的温度可认为完全不变, 所以把  $\frac{x^2}{16a}$  视为惰性时间, 即当  $\tau \leq \frac{x^2}{16a}$  时  $x$  处的温度可认为仍等于  $t_0$ , 物体中的非稳态导热可以作为半无限大物体来处理。

$$\text{则表面上的热流密度为: } q_s = \lambda \frac{t_w - t_0}{\sqrt{\pi\tau}}$$

在时间  $[0, \tau]$  内, 半无限大物体表面与外界的换热量:

$$Q = A \int_0^\tau q_s dr = A \int_0^\tau \frac{\lambda(t_w - t_0)}{\sqrt{\pi\tau}} dr = 2A \sqrt{\frac{\tau}{\pi}} \sqrt{\rho\lambda} (t_w - t_0)$$

由此可见, 半无限大物体在第一类边界条件下被加热或冷却时, 表面上的瞬时热流密度与时间的平方根成反比; 而总的导热量与时间的平方根成正比。

在时间  $[0, \tau]$  内吸收的总热量则正比于  $\sqrt{\rho\lambda}$ ,  $\sqrt{\rho\lambda}$  称为吸热系数, 表示物体向其接触的高温物体吸热的能力。

## (二) 导热量计算式

以第一种边界条件为例, 物体中任意一点的热流密度:

$$q_x = -\lambda \frac{\partial t}{\partial x} = -\lambda (t_0 - t_w) \frac{\partial}{\partial x} (\text{erf}\eta) = \lambda \frac{t_w - t_0}{\sqrt{\pi\tau}} e^{-x^2/(4\tau)}$$

$$x \geq 4\sqrt{4\tau}$$

$$t_w \leq \frac{x^2}{16a} \rightarrow \text{惰性时间}$$

$\sqrt{\rho\lambda}$  吸热系数

## (二) 导热量计算式

以第一种边界条件为例, 物体中任意一点的热流密度:

$$q_x = -\lambda \frac{\partial t}{\partial x} = -\lambda (t_0 - t_w) \frac{\partial}{\partial x} (\text{erf}\eta) = \lambda \frac{t_w - t_0}{\sqrt{\pi\tau}} e^{-x^2/(4\tau)}$$



【3-17】(浙江大学 2004 年考研试题)某一直径为 0.1m, 初始温度为 300K 的轴, 其密度为 7832kg/m<sup>3</sup>, 导热系数为 51.2W/(m<sup>2</sup>·K), 比热容为 541J/(kg·K). 将该轴置于温度为 1200K 的加热炉中, 其表面对流换热系数为 100W/(m<sup>2</sup>·K), 则其时间常数为  $\tau_e = \frac{hA}{\rho cV} = \frac{100 \times 0.1^2}{51.2 \times 7832 \times 0.1} = 0.098 < 0.1$ ; 要使其中心温度达到 800K, 则放入加热炉内约需要加热 14.3 分钟(用集中参数法).

答案: 1059.3s 14.3

解析: 先检验是否可用集中参数法, 根据毕渥数的定义可知:

$$Bi = \frac{hR}{\lambda} = \frac{100 \times 0.1/2}{51.2} = 0.098 < 0.1$$

可以采用集中参数法.

根据时间常数的定义可知:  $\tau_e = \frac{\rho c V}{h A} = \frac{\rho c}{h} \cdot \frac{\pi d^2 l}{2\pi d^2 + \pi d l} \approx \frac{\rho c}{h} \cdot \frac{\pi d^2}{4} (2\pi d^2 \ll \pi d l)$ . 把  $\rho = 7832 \text{ kg/m}^3, h = 100 \text{ W}/(\text{m}^2 \cdot \text{K}), c = 541 \text{ J}/(\text{kg} \cdot \text{K}), d = 0.1 \text{ m}$  代入上式, 计算可得时间常数为:  $\tau_e = 1059.3 \text{ s}$ .

根据集中参数法温度场的分析解, 可得:  $\frac{t - t_{\infty}}{t_0 - t_{\infty}} = \exp\left(-\frac{t}{\tau_e}\right)$ . 把  $t_0 = 300 \text{ K}, t = 800 \text{ K}, t_{\infty} = 1200 \text{ K}, \tau_e = 1059.3 \text{ s}$  代入上式, 可得:  $t = 859.02 \text{ s} = 14.3 \text{ min}$ .

【3-18】(浙江大学 2005 年考研试题)请解释非稳态导热分析中的集中参数法, 其适用条件是什么? 为什么可以在这种条件下使用?

解: 当固体内部的导热热阻远小于其表面的换热热阻时, 任何时刻固体内部的温度都趋近于一值, 以致可以认为整个固体在同一瞬间均处于同一温度下. 这时所要求解的温度仅是时间  $t$  的一元函数而与空间坐标无关. 这种忽略物体内部导热热阻的简化分析方法称为集中参数法.

其适用条件:  $Bi = \frac{hL}{\lambda} \leq 0.1$ . 在这种条件下, 物体中最大与最小的过余温度之差小于 5%, 对于一般工程计算, 此时已经足够精确地可以认为整个物体温度均匀.

【3-19】(浙江大学 2000 年考研试题) 导热集中参数系统的热惯性可由时间常数  $\tau_e$  来描述, 其影响因素为  $\rho c V / h A$ .  $\tau_e = \frac{\rho c V}{h A} \rightarrow$  ~~换热系数~~ ~~换热面积~~

答案: 决取决于物体自身的热容量  $\rho c V$  以及表面换热条件  $h A$ .

【3-40】(北京航空航天大学 2005—2006 学年第 2 学期期末考试试题) 什么是时间常数? 用热电偶测量温度变化着的气流温度时如何提高测量精度?

答: 时间常数  $\tau_e = \frac{\rho c V}{h A}$ . 用热电偶测量温度变化着的气流温度时应尽可能减小时间常数, 在热电偶材料一定时, 增大对流传热系数, 减小体积, 增大面积, 或减小体积面积比.

【3-41】(华中科技大学 2003—2004 学年第 2 学期期末考试试题) 非周期性的加热或冷却过程可以分为哪两个阶段, 它们各自有什么特征?

答: 非周期性的加热或冷却过程可以分为初始状况阶段和正规状况阶段. 前者的温度分布依然受到初始温度分布的影响, 也就是热扰动还没有扩散到整个系统, 系统中仍然存在着初始状态, 此时的温度场必须用无穷级数加以描述; 而后者却是热扰动已经扩散到了整个系统, 系统中各个地方的温度都随时间变化, 此时温度分布可以用初等函数加以描述.

【3-42】(华中科技大学 2003—2004 学年第 2 学期期末考试试题) 时间常数是从什么导热问题中定义出来的? 它与哪些因素有关? 同一种物体导热过程中的时间常数是不是不变的?

答: 时间常数是从导热问题的集中参数系统分析中定义出来的, 为  $\tau_e = \frac{\rho c V}{h A}$ , 从中不难看出, 它与系统(物体)的物性、形状大小相关, 且与环境状况(换热状况)紧密相联. 因此, 同一物体处于不同环境其时间常数是不一样的.

【3-43】(西安交大、浙大、上海交大等九校 2002 年期末联考试题) 一块厚度为  $2\delta - \delta \leq \delta$  的大平板, 与温度为  $t_i$  的流体处于热平衡. 当时间  $t > 0$  时, 左侧流体温度升高并保持为恒定温度  $2t_i$ . 假定平板两侧表面传热系数相同, 当  $Bi = \frac{h\delta}{\lambda} \rightarrow 0$  时, 试确定达到新的热稳态时平板中心及两侧表面的温度, 画出相应的板内及流体侧温度分布的示意性曲线, 并做简要说明.

解: 相应的板内及流体侧温度分布的示意性曲线如图 3-14 所示.

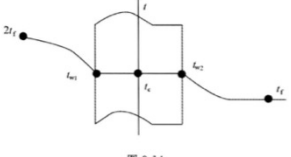


图 3-14

$$Bi \rightarrow 0 \text{ 时, 内热阻} \rightarrow 0, t_w = t_o = t_c = \frac{1}{2}(2t_i + t_i) = 1.5t_i.$$

【3-44】(中国石油大学<华东>2005—2006 学年第 2 学期期末考试试题) 非稳态导热物体可以用集中参数法分析的条件是什么?

解: 导热物体内部导热热阻忽略不计, 即任一时刻物体内部温度相同. 实用判别条件为:  $Bi < 0.1$  或  $Bi < 0.1M$  ( $M$  是与物体几何形状有关的无量纲数).

【3-20】(浙江大学 2006 年考研试题) 为什么玻璃体温计测体温必须在测温点放置一定的时间? 如果你来设计体温计, 有哪些方法可以缩短测温的时间?

解: 对于玻璃体温计的分析可以简化为分析玻璃体中水银的非稳态导热问题. 由于玻璃体中水银较少, 所以可以用集中参数法. 根据集中参数法的分析解可知, 时间参数为:

$$\tau = \rho c V / (h A)$$

由此可知, 玻璃体中的物质热容量  $\rho c V$  越小、玻璃体的表面换热条件越好, 那么温度变化越快. 由于水银的热容量比较大, 那么在表面换热条件一定的条件下, 温度变化较慢, 时间参数较大. 所以, 玻璃体温计测体温必须在测温点放置一定的时间.

根据时间参数的定义式可知, 要缩短测温的放置时间必须从减小物质的热容量  $\rho c V$ 、增大表面换热条件  $h A$ , 以缩短测温的放置时间.

【3-21】(上海九校联考 2002 年考研试题) 一块厚度为  $2\delta - \delta \leq \delta$  的大平板, 与温度为  $t_f$  的流体处于热平衡. 当时间  $t > 0$  时, 左侧流体温度升高并保持为恒定温度  $2t_f$ . 假定平板两侧表面传热系数相同, 当  $Bi = \frac{h\delta}{\lambda} \rightarrow 0$  时, 试确定达到新的热稳态时平板中心及两侧表面的温度, 画出相应的板内及流体侧温度分布的示意性曲线, 并做简要说明.

解: 图 3-7 为板内及流体侧温度分布的示意性曲线.

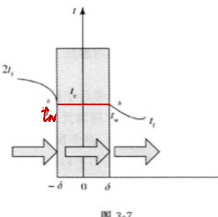


图 3-7

本问题的传热过程包括以下三个环节: 高温流体与平板之间的对流传热; 板内热传导; 平板与低温流体之间的对流传热. 当  $Bi = \frac{h\delta}{\lambda} \rightarrow 0$  时, 平板内部的导热热阻几乎可以忽略, 此时可以认为任意时刻平板中各点温度接近均匀, 因而可以认为左右两侧壁温均为  $t_w$ .

高温流体与平板之间对流传热热流量:

$$\Phi = hA(2t_f - t_w)$$

平板与低温流体之间对流传热热流量:

$$\Phi = hA(t_w - t_f)$$

由②、③式可知:

$$t_w = t_f = 1.5t_f$$

所以达到新的热稳态时, 平板中心与两侧表面温度为  $1.5t_f$ .

(2) 区域离散化：用一系列与坐标轴平行的网格线把求解区域划分成许多子区域，用网格线的交点作为需要确定温度值的空间位置，称为节点(结点)，节点的位置用该节点在两个方向上的标号  $m, n$  表示。相邻两节点间的距离称步长；记为  $\Delta x, \Delta y$ 。每个节点都可以看成是以它为中心的一个小区域的代表，把节点代表的小区域称为元体(又叫控制容积)。

(4) 设立迭代初场：代数方程组的求解方法有直接解法与迭代解法，传热问题的有限差分法中主要采用迭代法。采用迭代法求解时，需对被求的温度场预先设定一个解，这个解称为初场，并在求解过程中不断改进。

(5) 求解代数方程组。如图 4-2(b)，除  $m=1$  的左边界上各节点的温度已知外，其余  $(M-1) \times N$  个节点均需建立离散方程，共有  $(M-1) \times N$  个方程，则构成一个封闭的代数方程组。

1) 线性代数方程组：代数方程一经建立，其中各项系数在整个求解过程中不再变化；

2) 非线性代数方程组：代数方程一经建立，其中各项系数在整个求解过程中不断更新。

是否收敛判断：是指用迭代法求解代数方程是否收敛，即本次迭代计算所得之解与上一次迭代计算所得之解的偏差是否小于允许值。

关于变物性(物性为温度的函数)导热问题，建立的离散方程，四个邻点温度的系数不是常数，而是温度的函数。在迭代计算时，这些系数应不断更新，这是非线性问题。

在数值计算时，用三个相邻节点上的值近似表示二阶导数的表达式即可，则相应的略去  $O(\Delta x^2)$ 。于是得：

$$\text{中心差分} \quad \frac{\partial^2 t}{\partial x^2} \Big|_{m,n} = \frac{t_{m+1,n} - 2t_{m,n} + t_{m-1,n}}{\Delta x^2}$$

同理，可得：

$$\frac{\partial^2 t}{\partial y^2} \Big|_{m,n} = \frac{t_{m,n+1} - 2t_{m,n} + t_{m,n-1}}{\Delta y^2}$$

这是二阶导数的差分表达式，称为中线差分。

代入导热问题的控制方程  $\frac{\partial^2 t}{\partial x^2} + \frac{\partial^2 t}{\partial y^2} = 0$ ，得：

$$\star \quad \frac{t_{m+1,n} - 2t_{m,n} + t_{m-1,n}}{\Delta x^2} + \frac{t_{m,n+1} - 2t_{m,n} + t_{m,n-1}}{\Delta y^2} = 0$$

### (2) 热平衡法 $\star$

对内部节点，教材已通过推导得出了教材式(4-3)，其结论与 Taylor 级数展开法相同。能量平衡法的本质是导热傅里叶定律及能量守恒定律的具体体现。以含有内热源的内角顶(图 4-4 中节点  $(m, n)$ )为例，导出其离散方程如下：

$$\begin{aligned} & \lambda \Delta y \frac{t_{m-1,n} - t_{m,n}}{\Delta x} + \lambda \Delta x \frac{t_{m,n+1} - t_{m,n}}{\Delta y} + \\ & \lambda \frac{\Delta y}{2} \frac{t_{m+1,n} - t_{m,n}}{\Delta x} + \lambda \frac{\Delta x}{2} \frac{t_{m,n-1} - t_{m,n}}{\Delta y} + \\ & \frac{3}{4} \Delta x \Delta y \Phi_{m,n} + \left( \frac{\Delta x}{2} + \frac{\Delta y}{2} \right) h_1 (t_{fl} - t_{m,n}) = 0 \end{aligned} \quad (4-3)$$

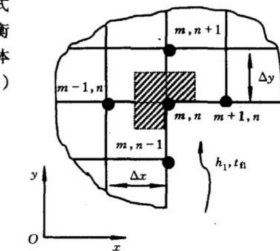


图 4-4 内角顶的离散示意图

同理可以导出其他几种类型边界节点的离散方程。

$\star$  导入为正

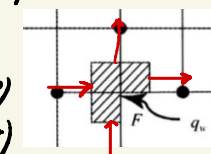
得到 = 失去

$$(-\lambda \Delta y \frac{t_{m,n} - t_{m-1,n}}{\Delta x}) + (-\lambda \Delta x \frac{t_{m,n} - t_{m,n-1}}{\Delta y}) = (-\lambda \Delta y \frac{t_{m,n} - t_{m,n}}{\Delta x}) + (-\lambda \Delta x \frac{t_{m,n} - t_{m,n}}{\Delta y})$$

### (一) 用热平衡法导出典型边界点上的离散方程

假设物体具有内热源(不必均匀分布)，而且边界上有向该元体传递的热流密度  $q_w$ 。

如图 4-5 所示，二维墙角计算区域中，该节点外部角点仅代表  $1/4$  个以  $\Delta x, \Delta y$  为边长的元体。假设边界上有向该元体传递的热流密度为  $q_w$ ，则据能量守恒定律得其热平衡方程为：

$$(-\lambda \Delta y \frac{t_{m,n} - t_{m-1,n}}{\Delta x}) + (-\lambda \Delta x \frac{t_{m,n} - t_{m,n-1}}{\Delta y}) + q_w \cdot \Delta y + \frac{1}{4} \frac{\Delta x \Delta y}{2} F = (-\lambda \Delta y \frac{t_{m,n} - t_{m-1,n}}{\Delta x}) + (-\lambda \Delta x \frac{t_{m,n} - t_{m,n-1}}{\Delta y}) + q_w \Delta x \Delta y + (-\lambda \frac{\Delta x}{2} \frac{t_{m+1,n} - t_{m,n}}{\Delta y}) + (-\lambda \frac{\Delta y}{2} \frac{t_{m,n+1} - t_{m,n}}{\Delta x})$$


#### 4. 讨论有关 $q_w$ 的三种情况

(1) 若是绝热边界,令上式  $q_w = 0$  即可。

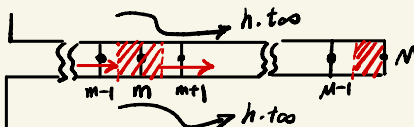
(2) 若  $q_w \neq 0$  时,流入元体,  $q_w$  取正;流出元体,  $q_w$  取负使用上述公式。

(3) 若属对流边界,则:  $q_w = h(t_i - t_{m,n})$ , 将  $q_w$  代入上式即可。

$\Delta x = \Delta y$  时,则对于平直边界:

无量纲数  $\frac{h\Delta x}{\lambda}$  是以网格步长  $\Delta x$  为特征长度的毕渥数,即为  $Bi_2$ , 称为网格毕渥数

稳态、无内热源常物性的圆柱面直肋,求  $m, M$  节点方程



$$m \text{ 节点: } (-\lambda \alpha y \frac{t_m - t_{m-1}}{\Delta x}) + h P_{0X} (t_{\infty} - t_m) = (-\lambda \alpha y \frac{t_{m+1} - t_m}{\Delta x}) \\ M \text{ 节点: } (-\lambda \alpha y \frac{t_M - t_{M-1}}{\Delta x}) + h C P_{0X} + A_c (t_{\infty} - t_M) = 0$$

#### (二) 代数方程的求解方法

导热问题的所有离散方程组成一个封闭的代数方程组后,求解代数方程组就可以得到各个节点的温度值,也就求解出了温度场。线性代数方程组的求解方法有消元法、矩阵求逆法、迭代法等,这里仅简单介绍在导热的数值计算中常用的迭代法中的两种。

##### 1. 简单迭代法

设  $n$  个节点的温度满足如下  $n$  元方程组:

$$\begin{cases} a_{11}t_1 + a_{12}t_2 + \dots + a_{1n}t_n = b_1 \\ a_{21}t_1 + a_{22}t_2 + \dots + a_{2n}t_n = b_2 \\ \vdots \\ a_{nn}t_1 + a_{n2}t_2 + \dots + a_{n(n-1)}t_{n-1} = b_n \end{cases}$$

其中  $a_{ij}, b_i$  为常数,且  $a_{ii} \neq 0$ 。改写为显函数形式:

$$\begin{cases} t_1 = \frac{1}{a_{11}}(b_1 - a_{12}t_2 - \dots - a_{1n}t_n) \\ t_2 = \frac{1}{a_{22}}(b_2 - a_{21}t_1 - \dots - a_{2n}t_n) \\ \vdots \\ t_n = \frac{1}{a_{nn}}(b_n - a_{n1}t_1 - \dots - a_{n(n-1)}t_{n-1}) \end{cases}$$

先假设  $t_1^0, t_2^0, \dots, t_n^0$  为方程组的解,将  $t_1^0, t_2^0, \dots, t_n^0$  这组值代入上面联立各式,可以求出另一组温度值  $t_1^1, t_2^1, \dots, t_n^1$ , 依次迭代,进一步可以得到若干组温度值  $t_1^0, t_2^0, \dots, t_n^0; t_1^1, t_2^1, \dots, t_n^1$ , 直到满足  $\max |t_i^k - t_i^{k-1}| \leq \epsilon$ , 认为  $t_1^k, \dots, t_n^k$  就是方程的解。

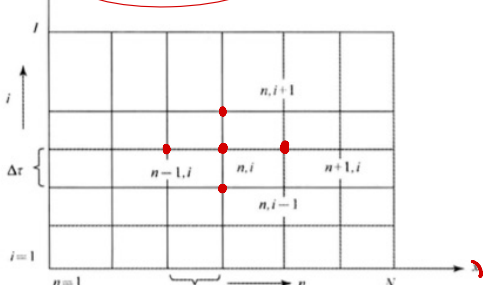
##### 2. 高斯—塞德尔迭代法

高斯—塞德尔迭代法是在简单迭代法的基础上加以改进的迭代方法。它与简单迭代法的主要区别是在于迭代运算过程中总使用最新算出的数据。例如第一次迭代时的计算式如下:

$$\begin{cases} t_1^0 = \frac{1}{a_{11}}(b_1 - a_{12}t_2^0 - \dots - a_{1n}t_n^0) \\ t_2^1 = \frac{1}{a_{22}}(b_2 - a_{21}t_1^0 - \dots - a_{2n}t_n^0) \\ \vdots \\ t_n^1 = \frac{1}{a_{nn}}(b_n - a_{n1}t_1^0 - \dots - a_{n(n-1)}t_{n-1}^0) \end{cases}$$

高斯—塞德尔迭代法比简单迭代法收敛速度更快。

#### -维非稳态导热



$$\left. \frac{\partial T}{\partial t} \right|_{n,i} = \frac{t_n^{i+1} - t_n^i}{\Delta t} \quad \text{向前差分} \star$$

$$= \frac{t_n^{i+1} - t_n^{i-1}}{2\Delta t} \quad \text{向后差分}$$

$$= \frac{t_n^{i+1} - 2t_n^i + t_n^{i-1}}{\Delta t^2} \quad \text{中心差分}$$

$$\frac{\partial T}{\partial x} = \alpha \frac{\partial^2 T}{\partial x^2} \rightarrow \frac{t_{n+1}^{i+1} - t_n^{i+1} - t_n^{i-1} + t_{n-1}^{i+1}}{4\Delta x^2} = \alpha \frac{\Delta t^2}{\Delta x^2}$$

$$F_o = \frac{\Delta t}{\Delta x^2} = \frac{1}{4} \quad \text{中心差分}$$

$$t_n^{i+1} = \frac{\Delta t}{\Delta x^2} (t_{n+1}^{i+1} + t_{n-1}^{i+1}) + (1 - 2\frac{\Delta t}{\Delta x^2}) t_n^i$$

$$= F_o (t_{n+1}^{i+1} + t_{n-1}^{i+1}) + (1 - 2F_o) t_n^i$$

此为内部节点温度方程的显式差分格式。

根据上式可以得到两点结论:

1) 任意一个内部节点  $n$  在  $(i+1)$  时刻的温度都可以由该节点及其相邻节点在  $i$  时刻的温度由上式直接求出,不必联立求解方程组,这是显式差分格式的优点。这样就可以从初始温度出发依次求出各时刻的节点温度。

必须满足显式差分格式的稳定性条件,即  $1 - 2F_o \geq 0$ , 得到  $F_o = \frac{\Delta t}{\Delta x^2} \leq \frac{1}{2}$

稳定性条件说明,一旦空间步长  $\Delta x$  或时间步长  $\Delta t$  的数值确定之后,另一个步长的数值就不能任意选择,必须满足稳定性条件。

隐式差分:  $\frac{t_n^{i+1} - t_n^i}{\Delta t} = \alpha \frac{t_{n+1}^{i+1} - 2t_n^{i+1} + t_{n-1}^{i+1}}{\Delta x^2}$  有 3 未知数, 计算量大, 步长有限制, 没有物理意义

边界节点的离散方程

对  $n=1, N-1$  有  $t_n^{i+1} = F_o(t_{n+1}^{i+1} + t_{n-1}^{i+1}) + (1 - 2F_o)t_n^i$  内部:  $F_o = \frac{\Delta t}{\Delta x^2} = \frac{1}{2}$

对  $n=N$  (自由端) 根据边界条件:  $p_o \frac{\partial T}{\partial x} = \frac{t_N^{i+1} - t_N^i}{\Delta x} = h(t_{\infty} - t_N^i) + (-1)^N \frac{t_N^{i+1} - t_N^i}{\Delta x}$  对流边界:  $1 - 2F_o B_o = 2F_o h$

$F_o = \frac{\Delta t}{\Delta x^2} = \frac{1}{4}$

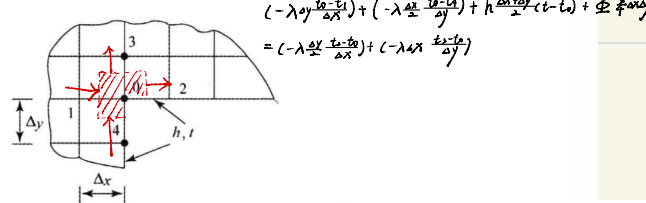
$B_o = \frac{\Delta x}{h}$

$t_N^{i+1} = F_o (t_N^i + h(t_{\infty} - t_N^i)) + (1 - 2F_o) t_N^i + F_o h t_{\infty}$

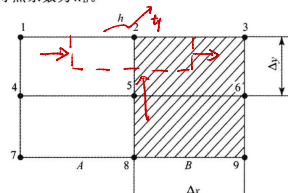
$= F_o (t_N^i + h(t_{\infty} - t_N^i)) + (1 - 2F_o) t_N^i + F_o h t_{\infty}$

$= F_o (t_N^i + h(t_{\infty} - t_N^i)) + (1 - 2F_o) t_N^i + F_o h t_{\infty}$

【4-1】(西安交通大学 2005 年考研试题)如图 4-9 所示出了常物性、有均匀内热源  $\dot{\Phi}$  的二维稳态导热问题局部边界区域的网格配置,试用热平衡法建立节点 0 的离散方程(有限差分方程,  $\Delta x \neq \Delta y$ )。



【4-2】(上海交通大学 2001 年考研试题)二维无内热源稳态导热问题,网格划分如图所示,试导出图 4-10 中节点 2 的节点方程。已知顶部环境温度为  $t_b$ , 对流换热系数  $h$ , 材料 A 的导热系数为  $\lambda_A$ , 材料 B 的导热系数为  $\lambda_B$ 。



$$(-\lambda_A \frac{\Delta y}{\Delta x} \frac{t_2 - t_1}{\Delta x}) + [-(\lambda_A + \lambda_B) \frac{\Delta x}{\Delta y} \frac{t_2 - t_5}{\Delta y}] + h \Delta x (t_b - t_2) = (-\lambda_B \frac{\Delta y}{\Delta x} \frac{t_2 - t_4}{\Delta x})$$

【4-3】(上海交通大学 2000 年考研试题)试导出二维稳态导热时左上拐角节点  $(i,j)$  的能量守恒表达式,即有限差分方程(不需要展开、化简)。已知右侧壁绝热;顶端处于温度为  $t_b$ ;换热系数为  $h$  的冷流体环境,同时受外界辐射  $q_e$  ( $\text{W/m}^2$ ) 照射;有内热源  $\dot{\Phi}$  [ $\text{W/m}^3$ ];网格  $\Delta x = \Delta y$ ;材料导热系数为  $\lambda$ 。

解:本问题的简化模型如图 4-12 所示。

分析图 4-12 所示灰色单元,有热传导、对流传热和热辐射,并且考虑内热源,那么得到的热平衡方程如下所示:

$$\Phi_{\text{内}} + \Phi_{\text{热传导}} + \Phi_{\text{对流}} + \Phi_{\text{辐射}} = 0$$

$$h \frac{\Delta x}{\Delta y} (t_{i,j} - t_{i,j-1}) + q_e \frac{\Delta x}{\Delta y} + (-\lambda \frac{\Delta y}{\Delta x} \frac{t_{i,j} - t_{i+1,j}}{\Delta x}) + (-\lambda \frac{\Delta x}{\Delta y} \frac{t_{i,j} - t_{i,j-1}}{\Delta y}) + \dot{\Phi} \sigma \epsilon_0 \alpha_{ray} = 0$$

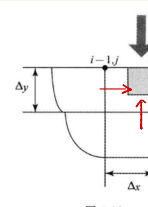
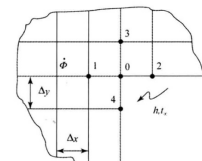
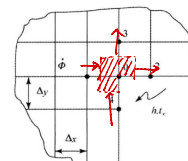


图 4-12

【4-4】(上海九校联考 2002 年考研试题)图 4-13 给出了常物性、有均匀内热源  $\dot{\Phi}$ 、二维稳态导热问题局部边界区域的网格配置,试用热平衡法建立节点 0 的有限差分方程(设  $\Delta x = \Delta y$ )。

解:如图 4-14 所示,0 单元为内部角点,代表 3/4 个元体。



$$(-\lambda y \frac{\Delta y}{\Delta x} \frac{t_0 - t_1}{\Delta x}) + (-\lambda \frac{\Delta x}{\Delta y} \frac{t_0 - t_2}{\Delta y}) + \dot{\Phi} \frac{\Delta x + \Delta y}{2} + h \frac{\Delta x + \Delta y}{2} (t_b - t_0) = (-\lambda x \frac{\Delta y}{\Delta x} \frac{t_0 - t_3}{\Delta x}) + (-\lambda \Delta y \frac{t_0 - t_4}{\Delta y})$$

【4-5】(重庆大学 2008 年考研试题)如图 4-16 所示,一维平壁的稳态导热,已知边界面周围流体温度  $t_l$  和边界面与流体之间的表面传热系数  $h$ , 取步长为  $\Delta x$ 。针对边界节点 1, 应用热平衡法推导出数值计算的显式差分格式,并给出数值求解的稳定性条件。

$$\begin{aligned} F_o &= \frac{\partial t}{\partial x} = \frac{\Delta t}{\Delta x} = \frac{t_{l+1} - t_l}{\Delta x} \\ dt &= \lambda \frac{\Delta x}{\Delta t} \\ dt &= \lambda \frac{\Delta x}{\Delta t} = h(t_l - t_{l+1}) + \lambda \frac{t_{l+1} - t_l}{\Delta x} \\ t_{l+1}^{n+1} &= t_l^n + \frac{h \Delta t}{\rho c \Delta x} (t_l^n - t_{l+1}^n) + \frac{\lambda \Delta t}{\rho c \Delta x} (t_{l+1}^n - t_l^n) \\ &= t_l^n + 2B_i F_o (t_l^n - t_{l+1}^n) + 2F_o (t_{l+1}^n - t_l^n) \\ &= (1 - 2B_i F_o) t_l^n + F_o (t_{l+1}^n + 2t_l^n) \end{aligned}$$

$$\text{稳定条件: } 1 - 2B_i F_o < 0 \Rightarrow F_o < \frac{1}{2B_i}$$